

بازشناسی جلوه‌های هیجانی با استفاده از تحلیل تفکیک‌پذیری مبتنی بر دانش خوشبندی چهره

امین محمدیان^۱, حسن آقائی‌نیا^۲ و فرزاد توحیدخواه^۳

^۱ دانشکده مهندسی پزشکی، دانشگاه صنعتی امیرکبیر، تهران، ایران

^۲ دانشکده مهندسی برق، دانشگاه صنعتی امیرکبیر، تهران، ایران

^۳ پژوهشگاه توسعه فناوری‌های پیشرفته خواجه نصیرالدین طوسی، تهران، ایران

چکیده:

روش پیشنهادی به منظور بهبود بازشناسی جلوه‌های هیجانی چهره ارائه شده است. در این روش به جای افزایش توان محاسباتی الگوریتم تحلیل تفکیک‌پذیر خطی (LDA)، دانش مربوطه به ایجاد تنوعات در بروز جلوه‌های هیجانی در چهره به کار گرفته شده است. این دانش‌شناسایی و دسته‌بندی شده است. با به کار گیری خوشبندی چهره‌ایی که با دانش دسته‌بندی چهره به دست آمده، ماتریس پراکنده‌گی داخل طبقه و بین طبقه‌ای برای هر خوشبندی می‌شود. با این کار از طریق دانش دسته‌بندی چهره‌های مختلف، مقداری از بار تنوعات بروز جلوه‌های هیجانی در چهره کاسته شده است تا توان تعمیم روش ساده‌ای چون تحلیل تفکیک‌پذیر خطی افزایش پیدا کند. نتایج روش پیشنهادی به ازای هر سه نوع خوشبندی ارائه شده بهبود داشته است و بهترین نتیجه مربوط به روش مبتنی بر خوشبندی شاخص چهره بوده است که از ۹۵.۷۵٪ به ۹۸.۶۶٪ ارتقا یافته است. این روش قابل استفاده برای دسته وسیعی از روش‌های بازشناسی جلوه‌های هیجانی چهره است و در مواجه با دادگان‌های حجمی راهکار کارآمدی خواهد بود.

واژگان کلیدی: خوشبندی چهره، بازشناسی جلوه‌های هیجانی، تفکیک‌پذیر خطی مبتنی بر خوشبندی.

هیجانی چهره و کیفیت تصویربرداری از آنها تأثیرگذار استند که چالش‌هایی را برای توسعه سامانه‌های بازشناسی در محیط‌های واقعی ایجاد کردند. مجموعه‌ای از عوامل که کارآیی این سامانه‌ها را تحت تأثیر قرار می‌دهند، شامل مواردی چون تغییرات تصویر در نتیجه تغییر نورپردازی، تغییر وضعیت سر و عوامل ایجاد انسداد در اجزای چهره Sandbach, Zafeiriou et al., 2012) (Zao, Huang et al., 2011). برای مواجهه با این عوامل پیشنهادهایی ارائه شده است، به عنوان مثال استفاده از تصاویر سه‌بعدی در بازشناسی هیجانات برای غلبه بر چرخش وضعیت سر و تغییرات نور محیط و داشتن تصاویر با قدرت تفکیک بالا به کار گرفته می‌شود (Maalej, Amor et al., 2011). برای مواجهه با تنوعات ناشی از تغییرات نور محیط، پیشنهاد استفاده از تصاویر نور فراسرخ طیف نزدیک نیز ارائه شده است (Zhao, Huang et al., 2011).

۱- مقدمه

چهره انسان اطلاعات مناسبی درخصوص سن، جنسیت، پیشینه و هویت فرد ارائه می‌کند (Cohn, 2010). علاوه‌بر این جلوه‌های هیجانی چهره نیز علائمی در رابطه با هیجانات، در (Rudovic, Lucey, Cohn et al., 2011) (Pavlovic et al. 2013) (Lajevardi and Hussain, 2012) و نقش مهمی در مطالعات پدیده‌های روان‌شناختی و توسعه ارتباطات غیرکلامی^۱ ایفا می‌کند (Lien 1998). به همین منظور تلاش‌های زیادی برای بازشناسی خودکار جلوه‌های هیجانی چهره صورت گرفته است.

عوامل متعددی بر روی نحوه ظاهر شدن جلوه‌های

^۱ Nonverbal Communications

افزایش توان تفکیک‌پذیری الگوریتم ساده و خطی چون تحلیل تفکیک‌پذیر خطی را نیز فراهم آورده است. به طور خلاصه نوآوری مقاله، شناسایی و دسته‌بندی این دانش (دانش مربوط به عوامل ذاتی ایجاد تنوعات در بروز جلوه‌های هیجانی در چهره) و ارائه تاکتیکی در به کارگیری این دانش در فرایند یادگیری و بازشناسی جلوه‌های هیجانی چهره است.

با توجه به ذاتی بودن این عوامل خوش‌بندی که در مقاله مذکور نظر قرار گرفته است، پیش‌بینی می‌شود اثر روش پیشنهادشده بر روی نرخ بازشناسی با افزایش تعداد افراد در دادگان، اثر یکسو و مثبت داشته باشد؛ اما توان بازشناسی بسیاری از روش‌ها، رابطه یکسویی با افزایش تعداد افراد در دادگان ندارد.

در ادامه به مبانی نظری ایجاد تنوعات و اختلافات بین فردی در بروز هیجانات پرداخته شده است؛ سپس با تحلیل خوش‌بندی دسته‌های مطرح، خوش‌هایی برای چهره افراد مطرح شده و در انتها روش پیشنهادی با به کارگیری دانش خوش‌بندی در تحلیل تفکیک‌پذیر خطی، ارائه شده است.

۲- تحلیل تفکیک‌پذیر مبتنی بر خوش‌بندی

یکی از عوامل ایجاد تنوع در بروز هیجانات، اختلافات بین فردی است. تلاش بسیاری از روش‌ها استخراج مشخصاتی از هیجانات در چهره است که در افراد مختلف اختلاف کمتری داشته باشد. نشان داده شده که انسان‌ها ابتدا به تعیین موقعیت چهره و شناسایی چهره فرد پرداخته و سپس حالات هیجانی شخص را شناسایی می‌کنند. بنابراین به کارگیری ایده تعیین مشخصات فردی برای تعیین بهتر نوع هیجانات، موضوع مناسبی برای بهبود بازشناسی آنها خواهد بود (Gu, Å et al., 2012). همچنین (Chen and Huang, 2003) یک روش استخراج ویژگی مبتنی بر خوش‌بندی برای بازشناسی جلوه‌های هیجانی ارائه کردند و نتیجه این روش را در مقایسه با روش‌های رایج استخراج ویژگی نشان دادند.

مطابق روندnamای شکل (۱) ابتدا تحلیل‌هایی برای خوش‌بندی و ارائه خوش‌های مطرح برای چهره افراد انجام گرفته است؛ سپس یک سامانه پایه بازشناسی پیاده‌سازی

جهت مواجهه با تنوعات نمایش جلوه‌ها در افراد و شرایط مختلف، ارائه ویژگی‌هایی که با بار محاسبات کمتر تغییرات جلوه‌های هیجانی چهره را نسبت به تغییرات بین Gu, Å et al., 2012). دسته‌های از تنوعات وابسته به تنوع اشخاص در بروز هیجانات است. رابطه کارآیی سامانه بازشناسی با مسئله Cohen, Sebe et al., 2003)، اکثر روش‌های پیشنهادشده بدون تفکیک عوامل ایجاد تنوعات، به مواجهه با آنها و بهبود بازشناسی پرداخته‌اند. یک دسته از روش‌ها هم با هنجارسازی اطلاعات یا ارائه روش‌های مبتنی بر فرد، Maronidis, Bolis et al., 2011)؛ اما همچنان در گسترش این روش‌ها در محیط‌های واقعی محدودیت‌های وجود دارد و با گسترش سامانه‌ها در جوامع مختلف امکان ناکارآمدی الگوریتم‌ها در مواجهه با دادگان‌های حجمی وجود خواهد داشت.

استفاده از خوش‌بندی فضای داده برای بهبود تفکیک‌پذیری پیش از این مورد استفاده قرار گرفته است (Chen and Huang, 2003) اما ایده اصلی این مقاله استفاده از شاخص‌هایی برای خوش‌بندی چهره افراد است که نقش مهمی در تغییرات بروز هیجانات بین فردی ایفا می‌کنند. بهمنظور افزایش کارآیی سامانه بازیابی تصاویر افراد در دادگان‌های حجمی نیز به خوش‌بندی تصاویر بر حسب شکل چهره پرداخته شده و بازیابی در داخل هر خوش‌هنجام شده که سرعت و دقت بازیابی را بالا برده است (Veropoulos, 2005)، Zhang, Fang et al., 2011Bebis et al., 2005

هدف اصلی این مقاله ارائه یک روش تفکیک‌پذیر خطی که به عنوان یک روش عمومی قابل کاربرد بر روی کاربردهای متعدد باشد، نیست؛ بلکه در این مقاله به جای افزایش توان تعمیم سامانه بازشناسی با استفاده از افزایش توان محاسباتی الگوریتم پردازشی، رویکرده توأم‌مند کردن الگوریتم‌های هر چند ساده توسط دانش هر حوزه مورد توجه قرار گرفته است. البته باید اشاره کرد که در رویکرد اول، این دسته از الگوریتم‌ها، نیازمند داده وسیع و مناسبی هستند تا دانش لازم جهت جهان‌شمولی را کسب کرده و قابلیت بازشناسی در فضاهای مختلف را داشته باشند.

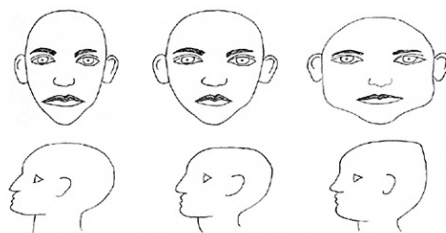
در این مقاله در حوزه بازشناسی جلوه‌های هیجانی چهره و با رویکرد استفاده از دانش مربوط به اطلاعات موجود در چهره و عوامل ایجاد کننده تنوعات بروز جلوه‌های هیجانی، راه کاری را پیشنهاد کرده است. این راه کار امکان



شاخص ۸۴ تا ۸۹/۷ برای سر زنده و ۸۵ تا ۸۹ برای جمجمه و نوع وجه باریک، دارای چهره باریک و دراز و شاخص ۸۸ تا ۹۹/۲ برای سر زنده و ۹۰ تا ۹۴/۹ برای جمجمه است؛ به طوری که با بررسی بر روی ۱۷۳ فرد بالغ، مشخصات چهره آنها را برای قرارگرفتن در هر یک از این سه دسته، مورد بررسی قراردادهند (Gündüz Arslan, Genç et al., 2008).

۵۹ نفر از ۱۷۳ فرد مشارکت کنندۀ، به چهره نوع وجه گسترده و ۴۹ نفر دارای وجه متوسط و چهره ۶۵ نفر از نوع وجه باریک بوده است. چندین دانشجوی هندی و مالزیایی با جنسیت مرد و زن، از نظر شاخص چهره مورد بررسی قرار گرفته و توزیع هر یک از انواع چهره در جامعه آنها گزارش شده است (Prosopo and Estudiantes, 2011).

اطلاعات مربوط به چهره، بیان گر این موضوع است که براساس شواهد می‌توان شکل چهره افراد را برای خوشبندی و عامل ایجاد تنوعات بین فردی در نظر گرفت.



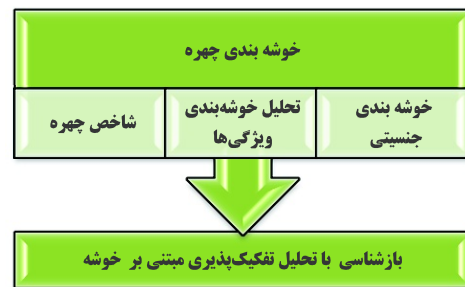
(شکل-۲): نمونه‌ای از تصاویر سه نوع چهره بر حسب ریخت‌شناسی (Li and Jain, 2009)

۲-۱-۲- اختلاف شکل در جنسیت

تفییرات در شکل چهره، تحت تأثیر جنس نیز قرار دارد. مردها به طور عمومی چهره‌هایی بزرگ‌تر دارند و این تغییر در پیشانی و بینی قابل توجه است؛ زیرا چهره بزرگ‌تر، نیاز به هوای بیشتر برای تأمین نیاز ماهیچه و اعضای بدن دارد. بنابراین مردها دارای، بینی پهن‌تر، درازتر و برآمده و دارای پیشانی شبیدار و برآمده هستند. در مقابل خانم‌ها دارای پیشانی صاف‌تر هستند. پیشانی برآمده مردها باعث می‌شود Li and Jain (2009) که چشم‌های آنها دارای عمق به نظر برسد)،

نشان داده شده که ویژگی‌های هندسی از چهره به جز فاصله بین دو چشم و عرض چشم راست و چپ به صورت معنی‌داری بین خانم‌ها و آقایان اختلاف داشته‌اند (Gündüz Arslan, Genç et al., 2008).

شده است و جهت بهبود کارآیی آن، روش پیشنهادی به کار گرفته شده است.



(شکل-۱): روندnamای روش پیشنهادی

۱-۲- خوشبندی چهره

در این مقاله، سه دسته رویکرد برای دسته‌بندی نوع چهره مورد توجه قرار گرفته است. ابتدا دانشی از حوزه پژوهشی که به صورت کمی قادر به نوع‌بندی چهره است؛ دوم استفاده از جنسیت برای دسته‌بندی افراد و بررسی معنی داربودن این دسته‌بندی و سوم تحلیل اطلاعات چهره، با تحلیل پارامترهای تصویری چهره و روش‌های تحلیل خوشبندی است. در ادامه هر یک از این موارد توضیح داده شده‌اند.

۱-۱-۲- شاخص چهره

تفییرات در اطلاعات ظاهری چهره و بروز هیجانات به مقدار زیادی وابسته به تغییرات در استخوان‌بندی چهره و کلیت جمجمه است (Li and Jain, 2009). اختلاف در شکل استخوان‌ها دلیل عمدۀ است که افراد مختلف به نظر می‌رسند. افراد را می‌توان براساس ریخت‌شناسی سر، به سه دسته تقسیم کرد. در (شکل-۲)، این سه دسته نشان داده شده‌اند. از راست به چپ جمجمه سر با طول کوتاه^۱ تولیدکننده چهره وجه گسترده^۲؛ جمجمه سر طول متوسط^۳ تولیدکننده چهره وجه متوسط^۴ و جمجمه سر با طول بلند^۵ تولیدکننده چهره وجه باریک^۶ است (Li and Jain, 2009).

بنابر تعریف لغتنامه مریام ویستر، وجه گسترده دارای چهره کوتاه و گسترده هستند، که دارای شاخص ۸۰ تا ۸۵ تعریف می‌شوند. نوع وجه متوسط، دارای چهره متوسط و

¹ Brachycephalic

² Euryproscopic

³ Mesocephalic

⁴ Mesoprosopic

⁵ Dolicocephalic

⁶ Leptoprosopic

۳-۱-۲- تحلیل خوشبندی

هدف خوشبندی، انتخاب نمونه‌ها در خوشبندی‌ای است که بیشترین شباهت داخل گروهی و کمترین شباهت بین گروهی را داشته باشند. مستقل از روش خوشبندی در بسیاری از کاربردها نتایج خوشبندی نیاز به بررسی و ارزیابی دارد (Halkidi, 2001). یک قسمت از مسئله خوشبندی تعیین تعداد خوشبندی‌هاست؛ سپس مبتنی بر تعداد تعیین شده الگوریتم خوشبندی، داده‌ها را به دسته‌های خوشبندی می‌کند.

در این کار، ابتدا ویژگی‌هایی از چهره درنظر گرفته شد که روش خوشبندی بیشترین اطلاعات را دریافت کند. به همین منظور مبتنی بر ویژگی‌های پیشنهادشده برای هندسه چهره و همچنین مبتنی بر مبانی نظری ایجاد تنوعات سه دسته ویژگی، از هندسه چهره استخراج شد. یک دسته مربوط به سنجش میزان تقارن اجزای چهره، دسته‌ای مربوط به قوانین نئوکلاسیک و دسته‌ای هم مربوط به نسبت‌های بین فواصل نقاط مشخصه^۱ چهره است. در بخش استخراج ویژگی این مشخصات توضیح داده شده‌اند.

در این کار برای داشتن یک خوشبندی و تحلیل روایی مناسب، از روش خوشبندی در دو قدم استفاده شده است (Zhang, Ramakrishnan et al., 1996). روندnamای کلی مراحل تخمین تعداد خوشبندی در شکل (۲) نشان داده شده است.



(شکل -۳): روندnamای روش خوشبندی

همان‌طور که در شکل (۳) مشاهده می‌شود، پس از استخراج ویژگی‌ها از تصاویر چهره در مرحله اول از روش خوشبندی سلسه‌مراتبی تراکمی^۲ استفاده می‌شود. با توجه به روش خوشبندی سلسه‌مراتبی در مراحل مختلف تعداد خوشبندی تعیین کرده بنابراین می‌توان با گذاشتن معیارهایی تعداد خوشبندی مناسب را هم تخمین زد. فاصله درنظر گرفته شده برای فاصله بین خوشبندی‌ها از نوع اقليدسي است. پس از تحلیل تعداد خوشبندی تعیین آنها در انتهای روش k ميانگين برای خوشبندی استفاده شده است.

¹ Fiducial points

² Agglomerative

۲-۲- تحلیل تفکیک‌پذیر مبتنی بر خوشبندی

به منظور استفاده از دانش مربوط به خوشبندی‌های ارائه شده در بهبود بازشناسی جلوه‌های هیجانی چهره، تحلیل تفکیک‌پذیر خطی به صورت زیر به کار گرفته می‌شود. بیشتر روش‌های تحلیل تفکیک‌پذیری بر اساس معیار فیشر که در فرمول (۱) نشان داده شده است، بنا شده‌اند:

$$\frac{|\mathbf{v}^T \mathbf{A} \mathbf{v}|}{|\mathbf{v}^T \mathbf{B} \mathbf{v}|} \quad (1)$$

که ماتریس‌های A و B ماتریس‌هایی متقاضن و مثبت معین هستند. در LDA از ماتریس پراکنده‌گی بین و داخل طبقه‌ای یعنی $A = S_B$ و $B = S_W$ طبق فرمول (۲) استفاده می‌شود.

$$S_B = \sum_{i=1}^C (\mathbf{u}_i - \bar{\mathbf{u}})(\mathbf{u}_i - \bar{\mathbf{u}})^T$$

$$S_W = \frac{1}{n} \sum_{i=1}^C \sum_{j=1}^{n_i} (\mathbf{x}_{ij} - \bar{\mathbf{u}})(\mathbf{x}_{ij} - \bar{\mathbf{u}})^T \quad (2)$$

که x_{ij} j امین نمونه طبقه i است. $\bar{\mathbf{u}}$ متوسط طبقه i و \mathbf{u} بردار متوسط کلی است. با توجه به مبانی روش تحلیل تفکیک‌پذیر خطی مبنی بر گوسی فرض کردن توزیع داده‌ها، می‌توان عدم وجود توزیع گوسین در داده را ناشی از عوامل ایجاد تنوعات دانست. بنابراین هرچه عوامل ذاتی تنوعات شناسایی شوند، پیش‌بینی می‌شود تخمین بهتری از زیرفضاهای گوسی فضای اصلی داده، ایجاد شود. در این کار تلاش شده با تحلیل و بررسی عوامل ایجاد تنوعات در بروز جلوه‌های هیجانی، زیرخوشبندی‌های داده تصاویر بروز جلوه‌های هیجانی، شناسایی و با به کارگیری ماتریس در هر یک از خوشبندی‌ها فرض گوسی بودن بیشتر تقویت شود.

ماتریس نگاشت به زیرفضای جدید به قرار فرمول (۳) است. ۰ شماره خوشبندی تعیین شده برای هر نمونه است. C تعداد طبقه مربوط به داده و $i_{(o)}$ میانگین داده مربوط به طبقه i از خوشبندی ۰ است. $x_{ij(o)}$ j امین نمونه طبقه i از خوشبندی ۰ است.

$$S_{(o)}_B = \sum_{i=1}^C (\mathbf{u}_{(o)i} - \bar{\mathbf{u}}_{(o)})(\mathbf{u}_{(o)i} - \bar{\mathbf{u}}_{(o)})^T$$

$$S_{(o)}_W = \frac{1}{n} \sum_{i=1}^C \sum_{j=1}^{n_{(o)i}} (\mathbf{x}_{(o)ij} - \bar{\mathbf{u}}_{(o)})(\mathbf{x}_{(o)ij} - \bar{\mathbf{u}}_{(o)})^T \quad (3)$$



در چهار شکل (۴) تعیین شده است. ویژگی های هندسی شامل زاویه بین رؤوس HJ، HFI، FHJ و اندازه بردارهای C'C، OB، DB، OD، FP، F'P، JJ، PF، JF، FJ، d8، d4، d6 و FC، CC، F'C و قدر مطلق اختلاف اندازه دو بردار FC و F'C است.

چهره به صورت ساختاری نامتقارن است. وابسته به نقاط مشخصه‌ای که در چهره در نظر گرفته شده بین ۴ تا ۱۲٪ اختلاف بین دو طرف چهره وجود دارد (Liu, Schmidt et al., 2003; Li and Jain, 2009 et al., 2003). موضوع عدم تقارن چهره به عنوان یک عامل مؤثر بر میزان جذابیت چهره افراد مورد مطالعه قرار گرفته است (Schmid, Marx et al., 2008). عامل دیگری که در افزایش عدم تقارن مشارکت دارد، بروز جلوه‌های هیجانی در چهره است؛ به طوری که افزایش عدم تقارن در نقطه اوج بروز جلوه‌ها، در نتیجه عدم تقارن ساختاری چهره است. عدم تقارن حرکتی، کوچک است، اما تعییرات معنی‌داری را نسبت به عدم تقارن کلی ایجاد می‌کند.

تقارن در این کار نسبت به خطی که بر روی نقاط میانی چهره درون یابی شده، به دست آمده است. نقاط مشخصه پیوست (۱) برای تحلیل تقارن نسبت به خط وسط در نظر گرفته شده است (Schmid, Marx et al., 2008).

یازده، دو نقطه‌ای درنظر گرفته شد که برای آنها چهار تابع اندازه‌گیری تقارن پیوست (۱) به علاوه زاویه تقارنی محاسبه شد که در جمع ۵۵ ویژگی برای تقارن سنجی به دست آمد.

همچنین هفده نسبت بین فواصل اجزای چهره مورد بررسی قرار گرفته‌اند؛ این نسبتها در پیوست (۲) نشان داده شده‌اند. معیارهای توسط نقاشان با عنوان قوانین نفوکلاسیک برای کشیدن چهره زیبا ارائه شده است که در قالب نه ویژگی مطرح هستند. با توجه به برچسب نقاط مشخصه چهره، شش ویژگی پیوست (۳) قابل استخراج است. ویژگی‌های پیوست را با ارائه ضریب تغییرات که برای نسبت واریانس به میانگین فاصله ویژگی‌ها تعریف شده است به عنوان مقدار هویزگی کنن به کار گرفته‌اند. مقدار صفر یعنی داشتن شرایط و مقدار بزرگ یعنی اختلاف و نداشتن معیارهای کنن است.

برای استخراج اطلاعات مناسب از ویژگی‌های استخراجی از تحلیل مؤلفه‌های اساسی^۲ جهت کاهش بعد بردار ویژگی‌ها قبل از اعمال نگاشت تفکیک‌پذیر خطی استفاده شده است؛ سپس، بهمنظور طبقه‌بندی، از طبقه‌بند

² Principle Component Analysis (PCA)

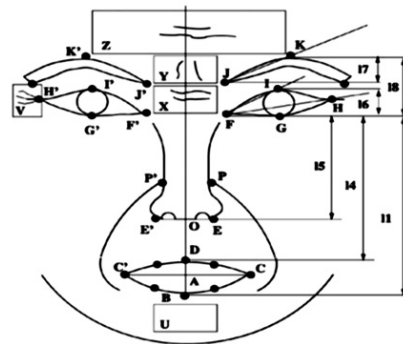
در مرحله آزمون هر بردار با نگاشت تفکیک پذیر مربوط به خوشه مربوطه اش کاهاش بعد داده می شود که این ماتریس مطابق فرمول (۴) است.

$$M_o = (S(o)_W)^{-1} \times S(o)_B \quad (4)$$

۳- بازشناسی جلوه‌های هیجانی چهره

تلاش‌های زیادی برای بالابردن قابلیت اطمینان سامانه‌های بازشناسی و مقاوم‌بودن آنها نسبت به افراد مختلف در محیط‌های ناشناخته صورت گرفته است. استخراج ویژگی‌های مناسب شروع مناسبی برای افزایش توان بازشناسی سامانه است.

برای ارائه ویژگی‌های مناسب در بازشناسی هیجانات از ترکیب ویژگی‌های مبتنی بر ظاهر و هندسه چهره استفاده شده است؛ در این کار مجموعه‌ای از ویژگی‌های هندسی به کار گرفته شده جهت تشخیص هیجانات، میزان جذابیت چهره افراد و احدهای کنشی که در کارهای قبل پیشنهاد شده بود در کنار یکدیگر به کار گرفته شدند (Schmid, 2008; Zhang, Fang et al., 2011; Marx et al., 2008) برای استخراج مشخصات بافت چهره از توصیف گر الگوهای دودویی محلی^۱ استفاده شده است (Moore and Bowden, 2012; Jafarzadeh and Mohammadian, 2012, 2011) که در کارهای قبیل نتایج مناسبی داشته است. ترکیب ویژگی‌های ذکر شده و نحوه به کار گیری توصیف گر در قسمت‌هایی از چهره، چزع پیشنهادهای این مقاله است.



(شکل -۴): نقاط مشخصه چهره و حروف مربوط به آنها جهت استخراج ویژگی های هندسی (Zhang and Ji, 2005)

حروف به کار رفته در فرمول‌ها، براساس موقعیت آنها

¹ Local Binary Patterns (LBP)

۲-۴- نتایج خوشبندی

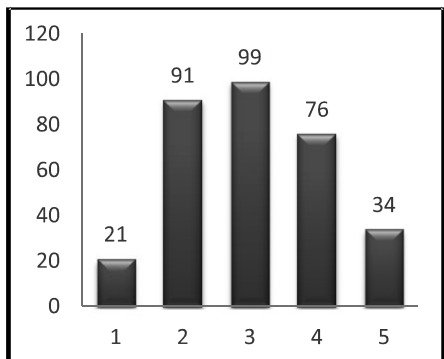
نتایج مربوط به سه نوع خوشبندی اطلاعات چهره، در ادامه به ترتیب برای خوشبندی مبتنی بر شاخص چهره، مبتنی بر جنسیت و مبتنی بر تحلیل خوشبندی آورده شده است. برای خوشبندی چهره‌ها براساس شاخص چهره، مقدار این شاخص توسط (۱) برای چهره‌های مختلف محاسبه شده است.

$$\text{facial index} = \frac{\text{Face length}}{\text{Face width}} \times 100 \quad (1)$$

از اعداد استاندارد علم سفالومتریک^۱ که در (جدول - ۱) آورده شده برای طبقه‌بندی افراد استفاده شده است (Jahanshahi, Golalipour et al., 2008).

(جدول - ۱): بازه شاخص چهره برای انواع چهره		
بازه شاخص چهره	شکل چهره	شماره
٪۷۹/۹≥	خیلی گسترده	۱
٪۸۴/۹-۸۰	گسترده	۲
۸۹/۹-۸۵	متوسط	۳
۹۴/۹-۹۰	باریک	۴
۹۵≤	خیلی باریک	۵

نمودار توزیع افراد در بین خوشبندی‌های مختلف تعیین شده توسط شاخص چهره، در (شکل - ۶) نشان داده شده است. مشخصات هر نوع چهره، در جدول (۱) آورده شده است.



در بخش خوشبندی مبتنی بر جنسیت فرد، ابتدا معنی‌داری این مشخصه به عنوان عامل خوشبندی مورد بررسی قرار گرفت. تعداد مردها و خانمهای دادگان، به ترتیب

^۱ Cephalometric

بیزین و روش ارزیابی ده دسته ده بار برای شناسایی

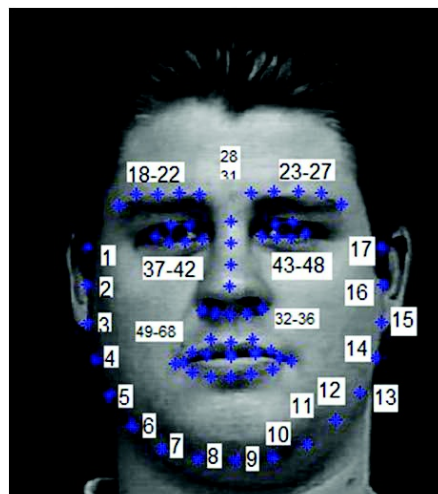
جلوه‌های هیجانی به کار گرفته شده است.

۴- نتایج

مطابق با روندnamای شکل (۱) نتایج در دو مرحله گزارش می‌شود. یکی نتایج تحلیل‌های خوشبندی و جمع‌بندی از خوشبندی‌های مطرح برای چهره و سپس نتایج بازنگاری هیجانات براساس الگوریتم پیشنهادی که در ادامه آورده شده است. قابل ذکر است که تحلیل‌های خوشبندی بر روی تصاویر خنثای چهره افراد انجام شده است.

۴-۱- دادگان+ Cohn-Kanade

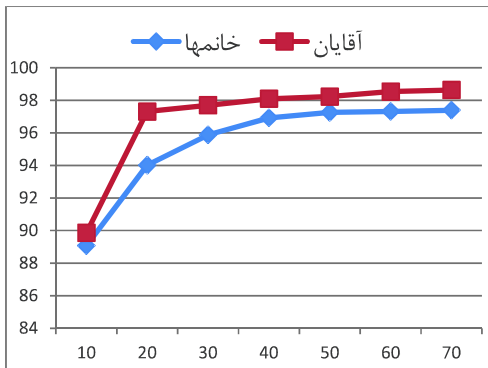
در این کار از دادگان CK+ استفاده شده که توسعه یافته CK است. در این دادگان در مجموع تصاویر ۱۱۸ سوزه وجود دارد که ۳۲۶ داده ترتیبی است. جهت تحلیل خوشبندی از تصاویر خنثای هر فرد استفاده شده که حدود ۳۲۶ نمونه است. برای بررسی خوشبندی براساس هندسه چهره افراد از وضعیت نقاط مشخصه چهره که توسط روش AAM مشخص شده، استفاده شده است. این نقاط شامل ۶۸ نقطه مشخصه از چهره است (Lucey, Cohn et al., 2010).



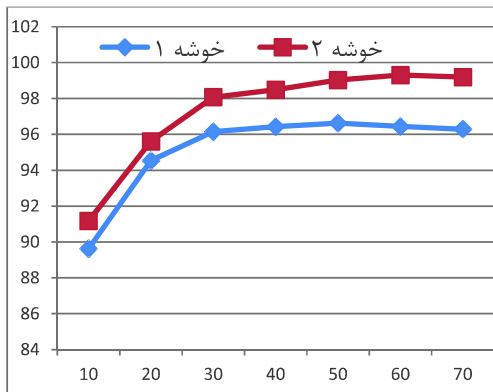
شکل - ۵: محل و شماره نقاط مشخصه چهره (Lucey, Cohn et al., 2010)

موقعیت هر یک از نقاط مشخصه چهره و شماره آنها، در (شکل - ۵) نشان داده شده است.

نتایج نرخ بازشناسی همراه با تغییر تعداد مؤلفه‌ها مبنی بر خوشبندی تحلیلی برای تقارن‌سنجدی اجزای چهره، در شکل (۸) نشان داده شده است.



(شکل-۷): نرخ بازشناسی هیجانات همراه با تغییر تعداد مؤلفه‌ها مبنی بر جنسیت



(شکل-۸): نرخ بازشناسی هیجانات همراه با تغییر تعداد مؤلفه‌ها مبنی بر خوشبندی تقارن اجزای چهره

در (شکل-۹) نمودار تغییر نرخ بازشناسی هیجانات همراه با تغییر تعداد مؤلفه‌ها مبنی بر خوشبندی مربوط به پنج نوع چهره نشان داده شده است. این انواع چهره براساس شاخص چهره به چهره‌هایی با عنوانی وجود خیلی گسترده، گسترده، متوسط، باریک و خیلی باریک به عنوان خوشبندی ۱ تا ۵ نام‌گذاری شده‌اند. جهت مقایسه، روش‌های پیشنهادی با روش تحلیل تفکیک‌پذیر خطی فیشر مقایسه شده‌اند. نمودار تغییرات روش پایه در (شکل-۱۰) به نمایش در آمده است.

حدود هشتاد و چهل نفر بوده است. برای کمی‌سازی جنسیت، تحلیلی بر روی معنی‌داری اختلاف ویژگی‌های چهره دو جنس صورت گرفت. ۳۷ ویژگی از ۱۱۹ ویژگی هندسی با آزمون T-Test به صورت معنی‌داری ($P<0.05$) بین دو جنس اختلاف دارند. بر چسب جنسیت از اطلاعات دادگان به صورت دستی تعیین شده است.

در این بخش نتایج تحلیل خوشبندی بر روی مشخصات هندسی تصاویر خنثای افراد گزارش شده است. تحلیل خوشبندی بر روی دسته ویژگی‌های تقارن‌سنجدی، نسبت‌های طلایی و قوانین نوکلاسیک انجام گرفته است. نتایج تحلیل‌ها بر روی سه دسته ویژگی، به صورت جداگانه بر حسب مراحل (شکل-۲) صورت گرفت. برای دو دسته قوانین نوکلاسیک و نسبت‌های طلایی خوشبندی معنی‌داری به دست نیامد؛ اما ۵۵ ویژگی تقارن‌سنجدی چهره دارای دو خوشبندی دار بودند و براساس شاخص روایی سیلهوته^۱ سطح کیفیت خوشبندی نیز مناسب به دست آمده است. تحلیل خوشبندی در برنامه SPSS19 صورت گرفته است.

۴-۳- نتایج بازشناسی هیجانات

نتایج بازشناسی با روش ده‌دبار بر روی هر تصویر از دادگان که دارای برچسب هفت هیجان پایه بودند، گزارش شده‌اند. براساس ویژگی‌های پیشنهادی و روش کاهش بعد تحلیل مؤلفه‌های اساسی و طبقه‌بندی بیزین شرایط یکسان برای مقایسه روش‌های مختلف تحلیل تفکیک‌پذیر ایجاد شده است.

برای انتخاب تعداد مؤلفه مناسب جهت طبقه‌بندی بهتر، برای هر یک از روش‌ها مقدار متوسط نرخ بازشناسی با تغییر تعداد مؤلفه در شکل‌های ((شکل-۷)، (شکل-۸) و (شکل-۹) (شکل-۱۰) نمایش داده شده است. برای جمع‌بندی و مقایسه نتیجه هر روش بیشترین نرخ بازشناسی در (جدول-۲) گزارش شده است. در روش‌های پیشنهادی، نتایج بازشناسی برای سه دسته خوشبندی مطرح به دست آمده است. این سه دسته شامل جنسیت، شاخص هندسی چهره و میزان تقارن اجزای چهره است. در (شکل-۷) نمودار تغییر نرخ بازشناسی همراه با تغییر تعداد مؤلفه‌ها برای دو دسته داده مربوط به آقایان و خانم‌ها نشان داده شده است.

¹ Silhouette

پایه، ماتریس اختلاط بین هیجان‌های مختلف برای بهترین روش به شرح (جدول-۳) آورده شده است.

جدول-۳: ماتریس اختلاط بین هیجانی روش بازشناسی مبتنی بر شاخص چهره							
نمره	خواسته ۱	خواسته ۲	خواسته ۳	خواسته ۴	خواسته ۵	خواسته ۶	خواسته ۷
۰/۳	۰	۰/۲	۰/۱	۰/۱	۰	۹۹/۳	عصیانیت
۰	۰	۰	۰	۰	۱۰۰	۰	تحقیر
۰/۷۵	۰/۲۵	۰/۲۷	۰	۹۸/۶	۰	۰	تنفس
۰/۶۴	۰	۰/۲۱	۹۸/۹۳	۰/۲	۰	۰	تروس
۰/۵۵	۰/۱۰	۹۹	۰	۰/۰۷	۰	۰/۲۴	خوشحالی
۰/۷۷	۹۸/۴	۰	۰	۰/۳۸	۰	۰/۳۸	نازاحتی
۹۷/۹۹	۰/۱۰	۰/۵۰	۰/۳۴	۰/۷۵	۰	۰/۳۴	تعجب

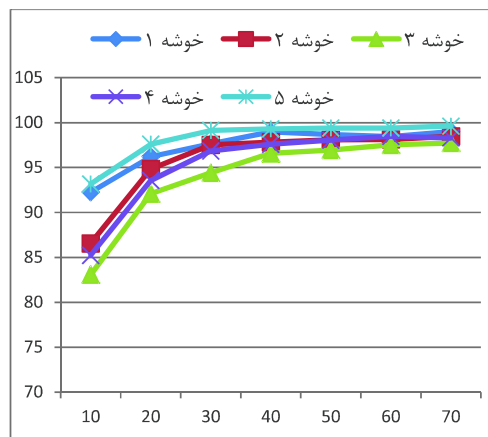
در (جدول-۳) بدترین نرخ مربوط به هیجان تعجب و بهترین نتیجه مربوط به هیجان تحقیر است. این ماتریس براساس هفت هیجان بدون حالت خنثی گزارش شده است؛ نرخ بازشناسی حالت خنثی حدود ۳۸٪ بوده است. اختلاط هیجانات با حالت خنثی افراد زیاد است؛ اما اختلاط بین هیجانی بسیار پایین است.

در این بخش بهترین نتیجه به دست آمده از روش پیشنهادی با نتایج تعدادی از روش‌های قبلی به کار گرفته شده بر روی دادگان CK+ در (جدول-۴) مقایسه شده است. این نکته قابل ذکر است که نتایج کارها به طور مستقیم قابل مقایسه نیستند، زیرا دارای اختلاف در انتخاب تعداد سوژه، تعداد هیجان پایه و یا نحوه ارزیابی هستند؛

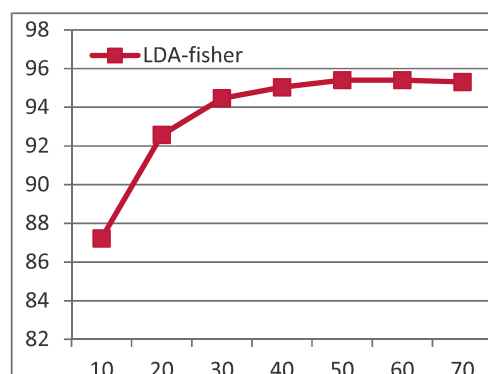
جدول-۴: مقایسه با نتایج دیگران						
نمره	نمره	نمره	نمره	نمره	نمره	مراجع
۹۱/۵۱	۱۰ گروه	۷	۹۴	(Gu, Å et al., 2012)		
۹۱/۴	۱۰ گروه	۷	۹۶	Shan, Gong et al.,) (2009		
۸۷/۲۱	LOO	خیر	-	۲۶	Chiu, Fang et al.,) (2001	
۸۳/۳۲	LOO	خیر	۷	۱۱۸	Lucey, Cohn et al.,) (2010	
۸۷/۵۵ (۹۸/۶۶)	۱۰ دسته	خیر	(۷)۸	۱۱۸	پیشنهادی	
۹۵/۸	۱۰ گروه	بله	۷	۱۱۸	پیشنهادی	

اما در مجموع نتیجه به دست آمده در حالت ده دسته دهبار، بر روی کل قالب‌های برچسب‌خورده برای هفت

همان‌طور که در (جدول-۲) نشان داده شده است، برتری نتایج روش‌های پیشنهادی نسبت به نتیجه روش پایه مشخص شده است.



(شکل-۹): نرخ بازشناسی هیجانات همراه با تغییر تعداد مؤلفه‌ها مبتنی بر خوشبندی شاخص چهره



(شکل-۱۰): نرخ بازشناسی روش پایه همراه با تغییر تعداد مؤلفه‌ها

(جدول-۲): مقایسه نتایج روش‌های پیشنهادی با روش پایه		
نرخ بازشناسی	روش	
۹۵/۷۵	LDA-fisher	پایه
۹۸/۰۲	مبتنی جنسیت	پیشنهادی ۱
۹۸/۶۶	مبتنی بر شاخص چهره	پیشنهادی ۲
۹۷/۹۷	مبتنی بر تقارن سنجی	پیشنهادی ۳

در بین روش‌های پیاده‌سازی شده، میانگین بهترین نتیجه مربوط به روش پیشنهادی مبتنی بر خوشبندی شاخص چهره بود که مطابق (جدول-۲) دارای صحت ۹۸٪ است. علاوه بر میانگین نرخ بازشناسی هفت هیجان

اختلاف در چهره افراد هستند. خوشبندی ویژگی‌های کمی شده در حوزه علم اندازه‌گیری قسمت‌های بدن، دانش مناسبی برای خوشبندی و تقسیم چهره به انواع مختلف است که در این مقاله از آن استفاده شد. موضوع دیگری که به عنوان معیاری برای تقسیم چهره افراد به انواع مختلف مورد توجه قرار گرفت، جنسیت فرد بود؛ به طوری که با توجه به اختلاف معنی‌دار ویژگی‌های استخراجی از چهره افراد نتایج نشان می‌دهد که زن و مرد بودن می‌تواند عامل ایجاد تنوعات در مشخصات چهره افراد باشد و زمینه‌ای برای خوشبندی چهره افراد قرار گیرد. نتایج تحلیل خوشبندی چهره افراد، ویژگی‌های مرتبط با تقارن اجزای چهره در دادگان را مناسب برای دسته‌بندی افراد پیشنهاد کرد.

با توجه به ذاتی بودن تعدادی از عوامل اشاره شده جهت خوشبندی چهره، این نوع خوشبندی در بردارنده دانشی است که عامل ایجاد تنوعات در بروز جلوه‌های هیجانی شده است. می‌توان پیش بینی کرد که با افزایش تعداد دادگان، این نوع خوشبندی بیش از پیش تقویت می‌شود؛ زیرا دادگان مناسب برای هر خوش فراهم می‌شود. در این مقاله نشان داده شد که با شناسایی این دانش‌ها و به کارگیری آنها می‌توان تعمیم سامانه بازناسی را توسط روش ساده تحلیل تفکیک‌پذیر خطی افزایش داد. هر چه دانش مربوط به عوامل مؤثرتر مربوط به ایجاد تنوعات در بروز جلوه‌های هیجانی بیشتر شناسایی شود، تأثیر به کارگیری این دانش در افزایش نرخ بازناسی بیشتر مشاهده خواهد شد. برای مقایسه اثر هر یک از دانش‌های خوشبندی ارائه شده، لازم است تا در دادگان‌های بزرگتر مورد بررسی قرار گیرد.

در بین روش‌های پیاده‌سازی شده میانگین بهترین نتیجه مربوط به روش پیشنهادی مبتنی بر خوشبندی شاخص چهره بود که مطابق (جدول-۲) صحت ۹۸/۶۶٪ دارد. با توجه به سادگی تعیین این نوع از خوشبندی، پیش‌بینی می‌شود که در کنار افزایش کارآیی سامانه بازناسی، تأثیر زیادی بر روی زمان محاسبه نداشته باشد.

دانش خوشبندی ارائه شده، قابلیت به کارگیری در دیگر الگوریتم‌های افزایش تفکیک‌پذیری و یا طبقه‌بندی در حوزه بازناسی جلوه‌های هیجانی چهره را دارد. پیشنهاد می‌شود این دانش بر روی روش‌های دیگر کاهش بعد با سربرستی به کار گرفته شود و همچنین رابطه به کارگیری این دانش با افزایش تعداد افراد دادگان مورد بررسی قرار

هیجان پایه ۹۸/۶۶٪ بدست آمد، که حدود ۲/۹٪ رشد آن ناشی از به کار گیری روش پیشنهادی بود. به دلیل اختلاف در تعداد سوژه و روش ارزیابی نتیجه بهتر به معنای برتری مطلق بر دیگر روش‌ها نیست؛ بلکه این بهبود برای بعضی از روش‌های قبلی نیز قابل بررسی خواهد بود. همچنین نتیجه بازناسی روش پایه ارائه شده در حالت ده گروه دهار نیز در مقایسه با سامانه مشابه خود که به عنوان نتیجه مرجع بر روی دادگان گزارش شده است، نیز نتیجه قابل توجه ۹۵/۸٪ در تشخیص چند فریم اوج هر هیجان داشته است.

(جدول-۵): مقایسه نتیجه روش پیشنهادی برای دو روش ارزیابی

روش	ارزیابی	روش پایه	پیشنهادی
CBDA	۱۰ دسته (کل فریم)	۹۵/۷۵	۹۸/۶۶
CBDA	۱۰ گروه (۳ فریم قله)	۹۵/۸	۹۰/۵۶

همان‌طور که در (جدول-۵) نشان داده شده است، روش پیشنهادی مبتنی بر تقارن سنجی در حالت ده بار ده دسته بهبود قابل توجهی نسبت به روش پایه نشان داده است. در حالی که روش پیشنهادی در حالت ده گروه ده بار که نتایج مستقل از شخص بروز دهنده هستند، نسبت به روش پایه کاهش قابل توجهی به دنبال داشت. تحلیل‌ها بیان گر آن است که در حالت اول، تشخیص براساس داده مربوط به خوش هر فرد باعث کاهش حجم داده آموزش و درنتیجه قدرت یادگیری بیشتر می‌شود و از آنجا که داده آزمون نزدیک به داده یادگیری است، نتیجه بازناسی افزایش می‌یابد؛ اما در حالت دوم که مستقل از فرد بروز دهنده است، داده آزمون اختلاف قابل توجهی نسبت به داده آموزش دارد و افزایش نرخ یادگیری لزوماً نرخ بازناسی را افزایش نداده و شاید قدرت تعمیم را هم کاهش داده است؛ بنابراین الوبت اولیه در به کار گیری روش پیشنهادی برای مواجه با دادگان‌های حجمی با قدرت تعمیم متوسط است.

۵- جمع بندی و نتیجه‌گیری

در این مقاله با هدف استفاده از دانش خوشبندی چهره افراد در بهبود بازناسی، شاخص‌هایی برای تحلیل خوشبندی مورد بررسی قرار گرفت. همان‌طور که در مبانی نظری عوامل ایجاد تنوعات در حوزه آناتومی و فیزیولوژی چهره آورده شده است، ساختار جمجمه و جنسیت و عدم تقارن در اجزای چهره، عامل‌های معنی‌داری برای ایجاد

Chen, X.-w. and T. Huang (2003). "Facial expression recognition : A clustering-based approach." Pattern Recognition Letters 24: 1295-1302.

Chiu, T., D. Fang, J. Chen, Y. Wang and C. Jeris (2001). A robust and scalable clustering algorithm for mixed type attributes in large database environment. Proceedings of the seventh ACM SIGKDD international conference on Knowledge discovery and data mining. San Francisco, California, ACM: 263-268.

Cohen, I., N. Sebe, A. Garg, L. S. Chen and T. S. Huang (2003). "Facial expression recognition from video sequences : temporal and static modeling." Computer Vision and Image Understanding 91: 160-187.

Cohn, J. F. (2010). "Advances in Behavioral Science Using Automated Facial Image Analysis and Synthesis [Social Sciences]." Signal Processing Magazine, IEEE 27(6): 128-133.

Gu, W., C. X. Å, Y. V. Venkatesh, D. Huang and H. Lin (2012). "Facial expression recognition using radial encoding of local Gabor features and classifier synthesis." Pattern Recognition 45(1): 80-91.

Gündüz Arslan, S., C. Genç, B. Odabaş and J. Devecioğlu Kama (2008). "Comparison of Facial Proportions and Anthropometric Norms Among Turkish Young Adults With Different Face Types." Aesthetic Plastic Surgery 32(2): 234-242.

Halkidi, M. (2001). "On Clustering Validation Techniques." Interpretation A Journal Of Bible And Theology: 107-145.

Jafarzadeh, M. and A. Mohammadian (2012). Using Dimension Reduction of Local Binary Patterns To improve Facial Expression Recognition. Electrical Engineering, 20th Iranian Conference on. Tehran.

Jahanshahi, M., M. J. Golalipour and K. Heidari (2008). "The effect of ethnicity on facial anthropometry in Northern Iran." Singapore Medical Journal 49(11): 940-943.

Lajevardi, S. M. and Z. M. Hussain (2012). "Automatic facial expression recognition: feature extraction and selection." Signal, Image and Video Processing 6(1): 159-169.

Li, S. Z. and A. K. Jain (2009). Encyclopedia of Biometrics, Springer.

Lien, J.-j. J. (1998). Automatic recognition of facial expressions using hidden Markov models and estimation of expression intensity. Ph.D, Washington University.

Liu, Y., K. L. Schmidt, J. F. Cohn and S. Mitra (2003). "Facial asymmetry quantification for express-

گیرد. برای این کار نیازمند استفاده از چندین دادگان با استاندار برچسبزنی یکسان یا دادگان حجمی هستیم.

پیوست - ۱ - شماره نقاط چهره برای تقارن سنجی

(Schmid, Marx et al., 2008)

Eyebrow (points 20 and 25; points 18 and 27)

Eye (points 37 and 46; points 40 and 43; points 42 and 47)

Nose (points 32 and 36)

Lips (points 51 and 53; points 55 and 61)

Face (points 1 and 17; points 3 and 15; points 6 and 12)

توابع زیر برای محاسبه تقارن با فرض اندازه‌گیری

فاصله هر یک از نقاط چپ و راست چهره از خط وسط

صورت مورد استفاده قرار گرفته است.

$$\text{ratio}(d) = \frac{d_L}{d_R}$$

$$\text{Addiff} = \frac{(d_L - d_R)}{\frac{d_L + d_R}{2}}$$

$$\ln(\text{ratio}(d)) = \ln\left(\frac{d_L}{d_R}\right)$$

$$\text{Diff}(d) = d_L - d_R$$

پیوست - ۲ - ویژگی‌های نسبت‌های طلائی (Schmid, Marx et al., 2008)

Mideye distance to interocular distance

Mideye distance to nose width

Mouth width to interocular distance

Lips–chin distance to interocular distance

Lips–chin distance to nose width

Interocular distance to eye fissure width

Interocular distance to lip height

Nose width to eye fissure width

Nose width to lip height

Eye fissure width to nose–mouth distance

Lip height to nose–mouth distance

Length of face to width of face

Nose–chin distance to lips–chin distance

Nose width to nose–mouth distance

Mouth width to nose width

پیوست - ۳ - قوانین نئوکلاسیک (Schmid, Marx et al., 2008)

Forehead height = nose length = lower face height

Nose length = ear length

Interocular distance = nose width

Interocular distance = right or left eye fissure width

Mouth width = 1.5 × nose width

Face width = 4 × nose width

۶ - مراجع

Chen, J., X. Liu, P. Tu and A. Aragones (2013). "Learning person-specific models for facial expression and action unit recognition." Pattern Recognition Letters 34(15): 1964-1970.



Zhang, S.-c., B. I. N. Fang, Y.-z. Liang, J. Wen and L. E. I. Wu (2011). A face clustering method based on facial shape information. International Conference on Wavelet Analysis and Pattern Recognition.

Zhang, T., R. Ramakrishnan and M. Livny (1996). BIRCH: an efficient data clustering method for very large databases. ACM SIGMOD Record, ACM.

Zhang, Y. and Q. Ji (2005). "Active and Dynamic Information Fusion for Facial Expression Understanding from Image Sequences." Pattern Analysis and Machine Intelligence, IEEE Transactions on 27(5): 699-714.

Zhao, G., X. Huang, M. Taini, S. Z. Li and M. Pietikäinen (2011). "Facial expression recognition from near-infrared videos." Image and Vision Computing 29(9): 607-619.



امین محمدیان در مقطع کارشناسی مهندسی پزشکی در سال ۱۳۸۱ از دانشگاه صنعتی امیرکبیر فارغ‌التحصیل شده و کارشناسی ارشد خود را در گرایش بیوکتریک بخش مهندسی برق دانشگاه تربیت مدرس تهران در سال ۱۳۸۴ به اتمام رسانده است. وی هم اکنون دانشجوی دکتراپی در دانشگاه صنعتی امیرکبیر است. زمینه‌های کاری او: شناسایی الگو، پردازش سیگنال‌های زیستی و تصویر است. نشانی رایانمۀ ایشان عبارت است از:

a.mohammadian@aut.ac.ir



حسن آقائی‌نیا کارشناسی و کارشناسی ارشد خود را به ترتیب در سال‌های ۱۳۶۵ و ۱۳۶۷ در رشته مهندسی برق گرایش الکترونیک از دانشگاه صنعتی امیرکبیر اخذ کرده است. ایشان همچنین در رشته مهندسی برق گرایش الکترونیک در سال ۱۳۷۱ مدرک D.E.A و در سال ۱۳۷۵ دکترا خود را از دانشگاه والتیسین فرانسه (UVHC) دریافت کرد. ایشان هم‌اکنون دانشیار دانشکده مهندسی برق دانشگاه صنعتی امیرکبیر هستند و از ایشان بیش از ۱۱۰ مقاله در مجلات و کنفرانس‌های معتبر علمی به چاپ رسیده است. ایشان همچنین عضو هیأت

ion invariant human identification." Computer Vision and Image Understanding 91(1-2): 138-159.

Lucey, P., J. F. Cohn, T. Kanade, J. Saragih, Z. Ambadar and I. Matthews (2010). The Extended Cohn-Kanade Dataset (CK+): A complete dataset for action unit and emotion-specified expression. Computer Vision and Pattern Recognition Workshops (CVPRW), IEEE Computer Society Conference on: 94-101.

Lucey, P., J. F. Cohn, I. Matthews, S. Lucey, S. Sridharan, J. Howlett and K. M. Prkachin (2011). "Automatically detecting pain in video through facial action units." Systems, Man, and Cybernetics, Part B: Cybernetics, IEEE Transactions on 41(3): 664-674.

Maalej, A., B. B. Amor, M. Daoudi, A. Srivastava and S. Berretti (2011). "Shape analysis of local facial patches for 3D facial expression recognition." Pattern Recognition 44(8): 1581-1589.

Maronidis, A., D. Bolis, A. Tefas and I. Pitas (2011). "Improving subspace learning for facial expression recognition using person dependent and geometrically enriched training sets." Neural Networks 24(8): 814-823.

Moore, S. and R. Bowden (2011). "Local binary patterns for multi-view facial expression recognition." Computer Vision and Image Understanding 115(4): 541-558.

Prosopo, I. and F. D. Estudiantes (2011). "Study of Prosopnic (Facial) Index of Indian and Malaysian Students." 29(3): 1018-1021.

Rudovic, O., V. Pavlovic and M. Pantic (2013). Automatic Pain Intensity Estimation with Heteroscedastic Conditional Ordinal Random Fields. Advances in Visual Computing, Springer: 234-243.

Sandbach, G., S. Zafeiriou, M. Pantic and D. Rueckert (2012). "Recognition of 3D facial expression dynamics." Image and Vision Computing 30(10): 762-773.

Schmid, K., D. Marx and A. Samal (2008). "Computation of a face attractiveness index based on neoclassical canons, symmetry, and golden ratios." Pattern Recognition 41(8): 2710-2717.

Shan, C., S. Gong and P. W. McOwan (2009). "Facial expression recognition based on Local Binary Patterns : A comprehensive study." Image and Vision Computing 27(6): 803-816.

Veropoulos, K., G. Bebis and M. Webster (2005). Investigating the impact of face categorization on recognition performance. Advances in Visual Computing, Springer: 207-218.

تحریریه مجله علمی و پژوهشی IJICTR هستند. زمینه‌های تحقیقاتی ایشان عبارتند از: سیستم‌های مخابرات دیجیتال و پردازش سیگنال با محوریت پردازش تصویر. نشانی رایانمۀ ایشان عبارت است از:

Aghaeini@aut.ac.ir



فرزاد توحیدخواه مدارک

کارشناسی و کارشناسی ارشد خود را به ترتیب در سال‌های ۱۳۶۴ و ۱۳۶۸ در رشته مهندسی برق از دانشگاه صنعتی امیرکبیر اخذ کرده و سپس برای طی دوره دکتری عازم کشور

کانادا شد. ایشان در سال ۱۳۷۵ مدرک دکترای خود را در رشته مهندسی پزشکی از دانشگاه ساسکاچوان دریافت کرد. ایشان هم‌اکنون استاد تمام و عضو هیأت علمی دانشکده مهندسی پزشکی دانشگاه صنعتی امیرکبیر بوده و ریاست این دانشکده را به‌عهده دارد. ایشان هم‌چنین سردبیر فصلنامه علمی- پژوهشی مهندسی پزشکی، عضو هیأت تحریریه مجله امیرکبیر دانشگاه صنعتی امیرکبیر و عضو کمیته مهندسی پزشکی شورای عالی برنامه‌ریزی وزارت علوم، تحقیقات و فناوری هستند. زمینه‌های تحقیقاتی ایشان عبارتند از کنترل حرکات انسان، مدل‌سازی و کنترل سیستم‌های بیولوژیکی، و مهندسی سیستم‌های عصبی.

نشانی رایانمۀ ایشان عبارت است از:

Towhidkhah@aut.ac.ir

فصلنامه
پژوهشی

سال ۱۳۹۳ شماره ۱ پیاپی ۲۱

